

# تحلیل اجزای محدود تأثیر مدل سازی آشفتگی جریان باد بر برج خنک کن

## دارای سازه پایه در مقایسه با آینه نامه VGB

محمدعلی گودرزی<sup>۱</sup> و سعیدرضا صباح یزدی<sup>۲\*</sup>

<sup>۱</sup>دانشجوی دکترای سازه - دانشگاه صنعتی خواجه نصیرالدین طوسی

<sup>۲</sup>دانشیار دانشکده مهندسی عمران - دانشگاه صنعتی خواجه نصیرالدین طوسی

(تاریخ دریافت ۳۰/۵/۸۶، تاریخ دریافت روایت اصلاح شده ۲۲/۷/۸۸، تاریخ تصویب ۳/۹/۸۸)

### چکیده

نظر به اهمیت فشار ناشی از جریان آشفته باد در طراحی برج های خنک کن خشک با مکش طبیعی، در نظر گرفتن جزئیات هندسی برج و اثرات آشفتگی در مدل سازی ضروری است. در این مقاله پس از ارزیابی مدل های مختلف آشفتگی در تحلیل اجزای محدود جریان باد در اطراف یک برج خنک کن، اثرات ناشی از در نظر گرفتن هندسه سازه های پایه در برآورد فشار باد مورد بررسی قرار گرفته است. برای این کار، ابتدا درستی عملکرد مدل دینامیک سیالات محاسباتی با چندین مدل آشفتگی مختلف به کمک اندازه گیری های آزمایشگاهی موجود، ارزیابی شده و مدل آشفتگی مناسب انتخاب می شود. سپس این مدل عددی، برای بررسی تغییرات فشار پیرامون یکی از برج های خنک کن نیروگاه کازرون دارای سازه های پایه در اندازه واقعی به کار می رود. در مرحله نهایی، تغییرات فشار حاصل از حل اجزای محدود در دو حالت برج خنک کن با سازه های پایه و بدون سازه های پایه با مقادیر پیشنهادی آینه نامه VGB آلمان مقایسه شده اند. نتایج عددی نشان می دهد که منظور نمودن سازه های پایه بر جر خنک کن باعث تغییرات توزیع فشار پیرامون برج در وجه پشت به باد می شود که این تغییرات بخصوص در ترازهای پایین برج، قابل توجه است.

### واژه های کلیدی: برج خنک کن، مدل سازی آشفتگی جریان باد، دینامیک سیالات محاسباتی، تحلیل اجزای محدود

### مقدمه

آزمایشگاهی استوار بوده است. امروزه دینامیک سیالات محاسباتی<sup>۳</sup> به طور وسیعی در تحلیل فرایندهای ایجاد شده در لایه پایینی جو، مورد استفاده قرار می گیرد. اما بالا بودن هزینه های برپایی آزمایش ها از یک سو و عدم امکان تعمیم کامل نتایج حاصل از آزمایش به رفتار سازه در ابعاد واقعی از سوی دیگر، باعث شده است که استفاده از روش های عددی در کنار روش های آزمایشگاهی برای درک نحوه رفتار باد در اطراف سازه ها همواره مورد توجه ویژه قرار گیرد. بر این اساس به تازگی استفاده از روش های عددی برای شبیه سازی رایانه ای جریان باد اطراف سازه ها مورد توجه قرار گرفته اند [۶-۷] از آن جمله، کارهایی توسط نویسنده این مقاله انجام شده است که در آنها نحوه مدل سازی رایانه ای، اثرات پشت بند های برج های خنک کن [۸] و اثرات هم جواری آنها [۹] مطالعه شده اند. در این تحقیق، ابتدا تأثیر به کار گیری مدل های مختلف آشفتگی برای برآورد توزیع فشار باد در اطراف برج های خنک کن توسط تحلیل اجزای محدود مورد توجه قرار

از دیدگاه مهندسی عمران، برآورد میدان فشار ناشی از جریان سیال در اطراف سازه ها برای طراحی بهینه آنها، یکی از مهم ترین اهداف استفاده از تحلیل دینامیکی سیالات است. در چنین تحلیلی اندر کنش مشخصات هندسی و تأثیرات آشفتگی جریان، نقش تعیین کننده ای بر شکل گیری بار فشاری بر سازه های در معرض باد دارد. در طراحی برج های خنک کن نیز نیروی باد از جمله نیروهای پراهمیت به شمار می رود. این اهمیت به دلیل متغیر بودن فشار ناشی از باد در ارتفاع و محیط پیرامونی برج است. به خصوص برای برج های خنک کن که ماهیت استوانه ای نیز دارند، عملکرد این نیروها پیچیده تر است و می تواند باعث خرابی های غیرمنتظره در سازه برج شود. در بررسی پدیده شکل گیری جریان باد در اطراف برج های خنک کن، اثر عوامل مختلف نظیر زبری جداره حاصل از وجود پشت بند ها<sup>۱</sup> و اثرات اندر کنشی مجموعه برج ها و ساختمنهای جنبی بر یکدیگر باید مورد توجه قرار گیرد. در گذشته مطالعات متعددی درباره این موضوع ها انجام شده است [۱-۵]. این مطالعات اغلب بر پایه تحقیقات

محیط داخلی برج ثابت است و مقدار آن از این رابطه محاسبه می‌شود:

$$W_i = C_p \cdot \lambda \cdot q(H) \quad (2)$$

در این رابطه،  $C_p$  مقداری ثابت و برابر با  $0.05$  و  $q(H)$  مقدار تابع  $q$  در ارتفاع  $H$  (ارتفاع کامل برج) است. با این توضیح، می‌توان مقادیر فشار پیشنهادی آیین‌نامه را روی بدنه داخلی و خارجی برج محاسبه کرد. برای محاسبه فشار وارد بر سطوح خارجی برج از طریق آیین‌نامه، باید مقادیر  $C_p(\theta)$  را در محیط پیرامونی برج و مقدار  $q(z)$  را در ارتفاع برج مشخص کنیم. مقادیر  $C_p(\theta)$  برای برج با سطوح صیقلی به شرح زیر است:

$$\begin{aligned} C_p(\theta) &= 1 - 2.6 \left( \sin \frac{90}{76} \theta \right)^{2.085} \\ &, (0 \leq \theta \leq 76) \\ C_p(\theta) &= -1.6 + 1.1 \left( \sin \left( \frac{90}{21} (\theta - 76) \right) \right)^{2.395} \\ &, (76 \leq \theta \leq 104) \\ C_p(\theta) &= -0.5 \\ &, (104 \leq \theta \leq 180) \end{aligned} \quad (3)$$

### مراحل استفاده از تحلیل عددی برای مدل‌سازی جریان باد در اطراف سازه‌ها

اغلب مسائل مهندسی در حالت کلی، شامل یک مدل ریاضی هستند که در قالب معادلات دیفرانسیل و با شرایط مرزی و شرایط اولیه خاص روی فیزیک پدیده بیان می‌شوند. معادلات دیفرانسیل حاکم بر پدیده از اعمال اصول پایه طبیعی بر یک جزء از محیط مسئله به دست می‌آیند. نرم‌افزارهای موجود برای حل مسائل دینامیک سیالات محاسباتی، اغلب به یکی از روش‌های گسترش‌سازی به حل این معادلات می‌پردازند. روش المان‌های محدود به عنوان یکی از مشهورترین روش‌های عددی می‌تواند برای آنالیز گستره وسیعی از مسائل مانند آنالیز تنش‌های سازه‌ای، انتقال حرارت، الکترو مغناطیس و همچنین مطالعه جریان سیال مورد استفاده قرار گیرد [۱۱]. در این تحقیق از تحلیلگ FLOTTRAN موجود در نرم افزار ANSYS برای محاسبه میادین سرعت و فشار در اطراف برج‌های خنک‌کن استفاده شده است [۱۲]. بی‌شک

گرفته است. سپس با استفاده از مدل آشفتگی بهینه، اثر وجود سازه‌های پایه (که باعث تغییر هندسه برج می‌شود)، در نحوه توزیع فشار باد وارد بر سطوح خارجی و همچنین تغییرات فشار باد محاسبه شده در ارتفاع برج نسبت به مقادیر توصیه شده توسط آیین‌نامه VGB آلمان بررسی شده است.

برای این کار از تحلیل‌گر سیالاتی موجود در نرم‌افزار ANSYS استفاده شده است. این نرم‌افزار بر مبنای روش اجزای محدود به حل معادلات حاکم بر محیط سیال می‌پردازد. در بخش اول مقاله، روش آیین‌نامه VGB آلمان به طور خلاصه ارائه می‌شود. سپس مراحل تحلیل عددی و نحوه برپایی مدل مربوط به آن به طور اختصار تشریح شده و برای اطمینان از درستی مراحل مدل‌سازی، در بخش سوم مقاله نتایج حاصل از به کارگیری مدل‌های متداوی آشفتگی موجود در نرم‌افزار با اندازه‌گیری‌های آزمایشگاهی روی مدل فیزیکی کوچک مقایسی یک برج خنک‌کن که توسط سایر محققان گزارش شده، مقایسه شده است. در بخش چهارم، یکی از برج‌های نیروگاه کازرون با هندسه و شرایط واقعی آن (شامل سازه‌های پایه) به عنوان نمونه عملی شبیه‌سازی شده و اثر وجود سازه‌های اضافه شده در پایه برج بر تغییر فشار وارد بر ترازهای مختلف سطوح خارجی آن مورد ارزیابی قرار می‌گیرد.

### روش آیین‌نامه VGB آلمان برای محاسبه

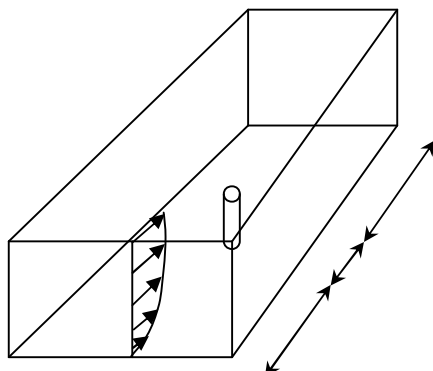
#### نیروی باد بر سازه برج‌های خنک‌کن [۱۰]

این آیین‌نامه، اثر باد را به شگل نیروهای استاتیکی و در قالب دو نیروی مکش داخلی و فشار خارجی وارد بر سطوح برج در نظر می‌گیرد. فشار وارد بر سطوح خارجی برج در آیین‌نامه VGB از طریق رابطه زیر برای هر نقطه از سطح برج قابل محاسبه است:

$$W_e(Z, \theta) = C_p(\theta) \cdot q(Z) \cdot \lambda \quad (1)$$

در این رابطه،  $\theta$  زاویه پیرامونی برج در هر ارتفاع است و  $C_p(\theta)$  ضریب فشار نامیده می‌شود و بیانگر تغییرات محیطی فشار است و تابع  $q(z)$  فشار سرعت بحرانی نامیده می‌شود و تغییرات ارتفاعی فشار را نشان می‌دهد. در این رابطه،  $\lambda$  ضریب افزایشی است که بیانگر اثرات مجاورت برج‌های دیگر است و مقدار آن برای برج تک برابر واحد است. آیین‌نامه درباره فشار منفی ایجاد شده در داخل برج، فرض می‌کند که مقدار این مکش در ارتفاع و

مقاوم گستردگی دارند، مفید است و برای افزایش پایداری حل معادلات در جایی که تغییرات عوامل جریان بیشترین مقادیر را داشته باشند، به کار می‌رود. به عبارت دیگر لزجت مصنوعی به روش مشابهی به عنوان لزجت سیال وارد معادلات می‌شود و از رشد ناخواسته نوسانات جلوگیری می‌کند و در نواحی با گرادیان‌های شدید، تغییر عوامل جریان را هموار می‌کند. باید توجه داشت در صورت کمینه‌سازی ضربی لزجت مصنوعی، این عبارت اضافه شده در حل نهایی اثری ندارد [۱۳]، زیرا لزجت مصنوعی در دیورژانس سرعت ضرب می‌شود و دیورژانس سرعت برای جریان‌های تراکمناپذیر صفر است. برای جریان‌های تراکمناپذیر، دیورژانس سرعت صفر نیست و در این حالت لزجت مصنوعی باید به عنوان یک ابزار همگرایی موقتی در نظر گرفته شود و در حل نهایی برابر با صفر شود.



شکل ۱: فضای محاسباتی حل جریان دینامیکی سیال.

### نحوه مدل سازی جریان باد و اثرات آشفتگی

معادلات حاکم بر جریان باد در سرعت‌های معمول در مجاور سطح زمین، معادله پیوستگی و معادلات مومنتم سیال تراکمناپذیر هستند. معادله پیوستگی جریان از قانون بقای جرم و با نوشتن رابطه تعادل جرم برای یک المان سیال به دست می‌آید. شکل کلی این معادله برای سیال تراکمناپذیر به این شکل است:

$$\frac{\partial V_x}{\partial x} + \frac{\partial V_y}{\partial y} + \frac{\partial V_z}{\partial z} = 0 \quad (5)$$

معادلات مومنتوم با استفاده از قانون دوم نیوتون به دست می‌آیند. طبق این قانون، برآیند نیروهای وارد بر یک ذره سیال با نرخ تغییر اندازه حرکت ذره سیال برابر است. شکل معادلات ناویر-استوکس برای سیال تراکمناپذیر و

اعمال شرایط مرزی صحیح، مهم‌ترین قسمت در شبیه‌سازی رایانه‌ای جریان هوا در اطراف سازه‌ها است. در مدل سازی این پدیده، امکان در نظر گرفتن همه محیط سیال وجود ندارد و به طور معمول فقط قسمتی از فضای اطراف سازه در مدل عددی در نظر گرفته می‌شود. اندازه محیط انتخابی به نوع، خواص‌ها و دقت مورد نیاز مسئله بستگی دارد. این محیط انتخابی را می‌توان به سه ناحیه شامل ناحیه ورودی، ناحیه خروجی و ناحیه مرکزی تقسیم کرد. به طور معمول سازه‌های اصلی با هندسه واقعی خود و با فاصله مناسب از مرزهای ورودی و خروجی جریان، در ناحیه مرکزی مدل سازی می‌شوند (شکل ۱). در مرز ورودی ناحیه حل، پروفیل سرعت جریان به عنوان شرایط مرزی اعمال می‌شود و جریان از مرز ورودی به سمت ناحیه مرکزی که سازه‌ها در آن استقرار یافته، حرکت می‌کند.

ماهیت جریان، تابعی از خصوصیات سیال، هندسه مسئله و اندازه تقریبی میدان سرعت است. اغلب موقع رژیم جریان با عدد بی بعد رینولدز که هم بیانگر اثر هندسه مسئله و هم بیانگر خصوصیات سیال است، به عنوان مبنای تشخیص آشفته یا لایه‌ای بودن جریان مورد استفاده قرار می‌گیرد.

$$R_e = \frac{\rho VL}{\mu} = \frac{VL}{v} \quad (4)$$

$L$  طول مبدأ است که برای برج‌های خنک‌کن برابر قطر متوسط برج در نظر گرفته می‌شود (قطر در یک سوم پایینی ارتفاع برج) و  $V$  بیانگر سرعت متوسط ورودی است. از المان FLUID142 موجود در کتابخانه نرم‌افزار برای المان‌بندی محیط حل استفاده شده است. درباره انتخاب مدل آشفتگی در قسمت بعد توضیح داده شده است.

در محل مرز ورودی، پروفیل سرعت منطبق با روابط موجود و شرایط منطقه، به صورت تابعی از ارتفاع بی بعد نسبت به سطح زمین اعمال شده و در محل خروجی به عنوان شرط مرزی دور دست جریان، فشار نسبی برابر صفر اعمال شده است. روی بدنه برج و کف زمین تمام مؤلفه‌های سرعت برابر صفر در نظر گرفته شده است (مرز بدون لغش). اما در دیوارهای کناری و بالای حوزه حل، مؤلفه قائم سرعت بر مرز برابر با صفر (مرز لغشی) اعمال شده است. برای کمک به همگرایی و پایداری حل، از روش لزجت مصنوعی استفاده شده است. این روش پایدارسازی مدل در مسائل تراکمناپذیر و مسائل تراکمناپذیر که نیروی

خاص می‌توان لزجت ناشی از تأثیر آشفتگی جریان ( $\mu_t$ ) را به صورت عددی ثابت در نظر گرفت، اما برای محاسبه آن در حالت کلی، مدل‌های توسعه یافته‌اند که لزجت ناشی از تأثیر آشفتگی جریان ( $\mu_t$ ) را مناسب با شرایط کاربرد و عوامل جریان محاسبه می‌کنند. ساده‌ترین مدل موجود در نرم‌افزار مدل صفر معادله‌ای است. در این مدل، لزجت از این رابطه به دست می‌آید:

$$\mu_t = \rho L_s^2 \sqrt{\varphi} \quad (11)$$

$L_s$  مقیاس طول است و مقدار پیش فرض آن برای نرم‌افزار برابر  $0.01$  است و  $\varphi$  عبارت تولید آشفتگی جریان است و مقدار آن برابر است با:

$$\varphi = \mu \left( \frac{\partial u_i}{\partial x_k} + \frac{\partial u_k}{\partial x_i} \right) \frac{\partial u_i}{\partial x_k} \quad (12)$$

سایر مدل‌های موجود در نرم‌افزار به مدل‌های دو معادله‌ای موسومند و مهم‌ترین آنها مدل آشفتگی دو معادله‌ای  $\kappa-\epsilon$  است که چهار مدل دیگر نیز از آن مشتق شده است. در این مدل، برای محاسبه لزجت آشفتگی رابطه زیر مورد استفاده می‌گیرد [۱۴]:

$$\mu_t = C_\mu \rho \frac{k^2}{\epsilon} \quad (13)$$

$$\begin{aligned} \frac{\partial \rho \epsilon}{\partial t} + \frac{\partial (\rho V_x \epsilon)}{\partial x} + \frac{\partial (\rho V_y \epsilon)}{\partial y} + \frac{\partial (\rho V_z \epsilon)}{\partial z} = \\ \frac{\partial}{\partial x} \left( \frac{\mu_t \partial \epsilon}{\sigma_\epsilon \partial x} \right) + \frac{\partial}{\partial y} \left( \frac{\mu_t \partial \epsilon}{\sigma_\epsilon \partial y} \right) + \frac{\partial}{\partial z} \left( \frac{\mu_t \partial \epsilon}{\sigma_\epsilon \partial z} \right) + \\ C_1 \mu_t \frac{\epsilon}{\kappa} \Phi - C_2 \rho \frac{\epsilon^2}{\kappa} \end{aligned} \quad (14)$$

$$\begin{aligned} \frac{\partial \rho \kappa}{\partial t} + \frac{\partial (\rho V_x \kappa)}{\partial x} + \frac{\partial (\rho V_y \kappa)}{\partial y} + \frac{\partial (\rho V_z \kappa)}{\partial z} = \\ \frac{\partial}{\partial x} \left( \frac{\mu_t \partial \kappa}{\sigma_\kappa \partial x} \right) + \frac{\partial}{\partial y} \left( \frac{\mu_t \partial \kappa}{\sigma_\kappa \partial y} \right) + \frac{\partial}{\partial z} \left( \frac{\mu_t \partial \kappa}{\sigma_\kappa \partial z} \right) \\ + \mu_t \Phi - \rho \epsilon \end{aligned} \quad (15)$$

$C_\mu$  آشفتگی است و مقدار آن برای مدل استاندارد  $\kappa-\epsilon$  و مدل  $RNG^3$  (که از آن منشعب شده است) ثابت است و برای سایر مدل‌های مشتق شده از مدل آشفتگی  $\kappa-\epsilon$   $[15]$ ،  $SZL^4$ ،  $GIR^5$  مقدار آن متغیر است. مقادیر آن پس از حل معادلات آشفتگی  $\kappa$  انرژی جنبشی آشفتگی و  $\epsilon$  میزان افت انرژی جنبشی آشفتگی محاسبه می‌شود. مدل  $\kappa-\epsilon$  در مجاورت دیوارهای صادق نیست و باید از تابع

در جهت فرضی  $x$  به این ترتیب است:

$$\begin{aligned} \frac{\partial V_x}{\partial t} + \frac{\partial (V_x V_x)}{\partial x} + \frac{\partial (V_y V_x)}{\partial y} + \frac{\partial (V_z V_x)}{\partial z} = \\ g_x - \frac{I}{\rho} \frac{\partial P}{\partial x} + \frac{\mu_e}{\rho} \left( \frac{\partial^2 V_x}{\partial x^2} + \frac{\partial^2 V_x}{\partial y^2} + \frac{\partial^2 V_x}{\partial z^2} \right) \end{aligned} \quad (6)$$

آشفتگی سیال به معنی نوسانات سرعت لحظه‌ای سیال، حول سرعت متوسط آن در هر نقطه از میدان است. بنابراین در سیال آشفته می‌توان فرض کرد که اجزای سرعت از دو بخش سرعت لحظه‌ای و سرعت متوسط تشکیل شده‌اند:

$$V_x = \bar{V}_x + V'_x \quad (7)$$

برای در نظر گرفتن اثرات آشفتگی، باید سرعت لحظه‌ای را در معادلات ناویر-استوکس وارد کرد. با اعمال سرعت لحظه‌ای در معادلات ناویر-استوکس و انتگرال‌گیری زمانی، ترم‌های جدیدی در فرم تنش‌های رینولدز در معادلات پدید می‌آید که در راستای  $x$  به شکل زیر است:

$$\frac{\partial}{\partial x} (\overline{\rho V_x V'_x}) - \frac{\partial}{\partial y} (\overline{\rho V_x V'_y}) - \frac{\partial}{\partial z} (\overline{\rho V_x V'_z}) \quad (8)$$

برای مدل‌کردن اثرات آشفتگی ابتدا عبارت‌های تنش‌های رینولدز به این ترتیب بازنویسی می‌شود:

$$-\overline{\rho u'_i v'_j} = \mu_t \left( \frac{\partial u_i}{\partial x_j} + \frac{\partial v_j}{\partial x_i} \right) \quad (9)$$

در این رابطه  $\mu_t$  ضریب لزجت آشفتگه است و متناسب با مدل آشفتگی به کار رفته به دست می‌آید. بیشترین مزیت این رابطه این است که عبارت تنش رینولدز به طور دقیق همان شکلی را که عبارت‌های پخش در معادلات اصلی دارند، پیدا می‌کند و معادله به دست آمده با جایگزینی این فرم جدید، به همان شکل اولیه معادلات ناویر-استوکس خواهد بود، با این تفاوت که لزجت به کار رفته در روابط، لزجت مؤثر است که برابر با مجموع لزجت دینامیکی و لزجت ناشی از تأثیر آشفتگی جریان است:

$$\mu_e = \mu + \mu_t \quad (10)$$

بنابراین حل مسئله آشفتگی به نحوه محاسبه لزجت ناشی از تأثیر آشفتگی جریان و اعمال آن در معادلات حاکم بر سیال تبدیل می‌شود. اگر چه برای حالت‌های

پایدار مورد نیاز برای همگرایی به وضعیت دائمی، به اندازه مسئله و شرایط مرزی آن بستگی دارد. در این مسئله از میزان تغییرات متوسط فشار گرهی در دو مرحله متوالی و روی تمام نقاط حوزه حل، به عنوان شاخص همگرایی استفاده شده و بعد از رسیدن این شاخص به میزان  $10\text{--}6$  روند تحلیل متوقف شده است. اثر پشتبندها به صورت زیری معادل ماسه بر بدنه برج اعمال شده است (در مرجع [۸] توضیحات کافی درباره نحوه معادل‌سازی پشتبندها با زیری معادل و روابط مربوط به آن ارائه شده است). مقدار نسبت ارتفاع به فاصله نواههای فلزی برابر  $h/a=3\times10^{-2}$  است، مقدار  $K_s$  معادل آن برابر  $24/0$  اعمال شده است. در تحلیل اجزای محدود این مسئله، از المان‌های چهار وجهی برای شبکه‌بندی محیط حل استفاده شده است. عامل بدون بعد ضریب فشار که برای نقاط روی سطح دیواره تعریف می‌شود، اغلب به عنوان معیار مناسبی برای مقایسه نتایج حاصل از میدان فشار در روی بدن به کار گرفته می‌شود. این عامل به این شکل تعریف می‌شود:

$$C_p(i) = \frac{2(P_0 - P_i)}{\rho U^2} \quad (19)$$

$P_i$  معرف فشار در نقطه  $i$  و  $P_0$  و  $U$  فشار و سرعت در ناحیه دوردست جریان است. نمودار شکل (۳) بیانگر مقایسه مقادیر ضریب فشار حاصل از آزمایش، حل عددی و مقادیر پیشنهادی آئین‌نامه در مقطع گلوگاه برج مورد بررسی است. لازم به ذکر است که مقادیر ارائه شده توسط نیومن، اساس پیش‌بینی‌های آئین‌نامه VGB درباره برآورد ضریب فشار حاصل از نیروی باد بر روی برج‌های خنک‌کن است [۲۰]. در شکل (۳) نتایج حاصل برای سایر مدل‌های آشفتگی که در قسمت قبل به طور اختصار تشریح شد نیز ارائه شده است (زاویه  $\theta=0$  در این شکل مربوط به وجه رو به باد برج است). مدل‌های آشفتگی مورد بررسی عبارتند از مدل  $K-E$  و مشتقات آن (GIR,SZL,RNG)، مدل دو معادله  $K-W$  و مدل صفر معادله‌ای که برای همه آن‌ها حل تحلیل عددی برای مدل آشفتگی  $K-E$  و پس از آن مدل صفر معادله‌ای، بهترین انطباق را با نتایج آزمایشگاهی دارد. جدول (۱) برای مدل صفر معادله‌ای و مدل آشفتگی دو معادله‌ای  $K-E$  مقادیر خطای مربوط به حل اجزای محدود را نسبت به اندازه‌گیری‌های آزمایشگاهی نشان

دیواره در این نواحی استفاده کرد [۱۷]. در مدل  $K-W$  مقدار لزجت آشفتگی از این رابطه به دست می‌آید:

$$\mu_t = \rho \frac{K}{\omega} \quad (16)$$

که  $\omega$  مقدار ویژه اتلاف است و مقدار آن برابر است با:

$$\omega = \frac{E}{C_K \mu} \quad (17)$$

مدل آشفتگی  $K-E$  و مشتقات آن، معادلات دیفرانسیل پارهای مربوط به انرژی جنبشی آشفتگی و نرخ اتلاف آن را حل می‌کنند؛ در حالی که مدل  $K-W$  معادلات دیفرانسیل پارهای مربوط به انرژی جنبشی آشفتگی و مقدار نرخ اتلاف انرژی جنبش آشفتگی در واحد این انرژی آن را حل می‌کند [۱۸].

### ارزیابی درستی نتایج مدل‌سازی آشفتگی به کمک اندازه‌گیری‌های آزمایشگاهی

برای بررسی عملکرد مدل‌های مختلف آشفتگی بر نحوه توزیع میادین فشار و سرعت در اطراف برج‌های خنک‌کن، همچنین اطمینان از درستی عملکرد فرض‌های انجام شده در برپایی مدل عددی، در این قسمت یک برج خنک‌کن در ابعاد آزمایشگاهی مدل‌سازی شده و نتایج حاصل از مدل عددی با نتایج آزمایشگاهی مقایسه شده است. برای این کار از آزمایش‌های انجام شده در مرجع [۱۹] استفاده شده است. این آزمایش‌ها مربوط به مدل آزمایشگاهی کوچک مقیاس یک برج خنک‌کن با ابعاد واقعی  $80$  متر ارتفاع و  $11.0$  متر ضخامت و قطر گلوگاه  $18$  متر است. مدل آزمایشگاهی این برج با مقیاس  $1/300$  ساخته شده است (شکل ۲). از نواههای فلزی نازکی با ارتفاع  $0.4$  میلی‌متر و به تعداد  $24$  عدد به عنوان پشت‌بند روی بدن مدل آزمایشگاهی و برای افزایش زیری سطوح استفاده شده است. ابعاد محفظه آزمایش  $2/4\times2/4\times1/6$  متر است و پروفیل سرعت ورودی با استفاده از قانون لگاریتمی زیر تعریف می‌شود. سایر شرایط در مرجع [۱۹] ذکر شده است.

$$u^+ = \frac{u_*}{k} \ln(z) - \frac{u_*}{k} \ln(z_0) \quad (18)$$

$$(u_* = 1.809 \text{ m/s}, z_0 = 3.431 \text{ mm})$$

$Z$  ارتفاعی متناظر با سرعت  $u^*$  است. تعداد تکرارهای

مقایسه با مدل آزمایشگاهی پرداخته شد و سپس عملکرد می‌دهد.

مدل‌های مختلف آشفتگی در مقایسه با نتایج حاصل از آزمایش‌ها بررسی شد. در این قسمت با استفاده از مدل آشفتگی  $\kappa-\epsilon$ ، به بررسی اثر وجود سازه‌های پایه در شرایط واقعی نیروگاه کازرون پرداخته می‌شود.

برای این کار یکی از برج‌های خنک‌کن نیروگاه کازرون (بعاد آن در جدول (۲) ارائه شده) مدل‌سازی شده و تأثیر سازه‌های فلزی نگهدارنده دریچه‌های متصل شده به پایه برج بتنی، مورد تحقیق قرار می‌گیرد. سازه فولادی پایه برج ( محل تعییه دریچه‌های لور) تا ارتفاع ۲۴ متری از پایین برج ادامه دارد (شکل (۴)). پروفیل سرعت جریان باد در ورودی با توجه به خصوصیات منطقه برج به این ترتیب فرض شده است:

$$V_z = 41.2 \left( \frac{Z}{10} \right)^{0.11} \quad (۲۰)$$

$Z$  ارتفاع نقطه‌ای است که سرعت در آن محاسبه می‌شود. برای محاسبه عدد رینولدز، مقدار متوسط سرعت در ارتفاع ۱۰ متری به عنوان سرعت مبنا مورد استفاده قرار گرفته است ( $V=41.2\text{m/s}$ )

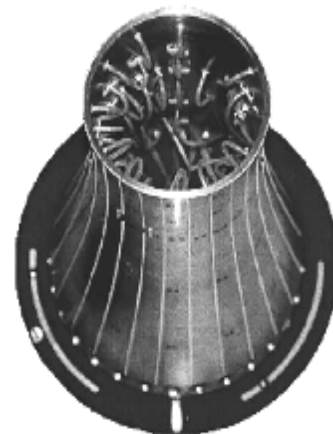
$$Re = \frac{\rho VL}{\mu} = \frac{1.205 \text{ Kg/m}^3 \times 41.2 \text{ m/s} \times 90}{1.8 \times 10^{-5} \text{ Kg/m.s}} \quad (۲۱)$$

مقدار به دست آمده برای عدد رینولدز به اندازه کافی بزرگ است که بتوان جریان را آشفته فرض کرد. سایر شرایط مرزی در قسمت قبل توضیح داده شد. تعداد المان‌های مورد استفاده برای مدل‌سازی محیط حل در دو حالت بدون سازه پایه و با سازه پایه به ترتیب برابر ۱۲۰ و ۸۵۴ المان است.

جدول ۲: ابعاد برج در مقیاس واقعی نیروگاه کازرون.

Location ID	Diameter (m)	Vertical Level (m)
Base	99	0
Lower Shell Edge	81	24.6
Level no.1	77	35
Level no.2	64.3	80
Throat level	62.2	105
Upper Shell Edge	63.5	125

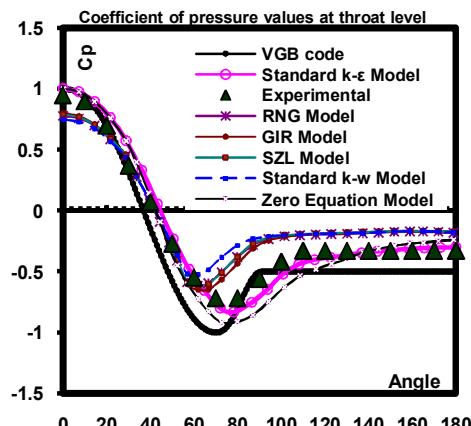
در مدل‌سازی محیط حل باید توجه داشت که مرزهای جریان، فاصله کافی از نواحی استقرار سازه‌ها و یا مناطقی که گرادیان‌های شدید دارند، داشته باشد تا محاسبات با دقیق نسبتی انجام شود. ابعاد محدوده حل در شکل (۵)



شکل ۲: برج آزمایشگاهی مورد بررسی.

جدول ۱: مقادیر خطای مربوط به نتایج حاصل از حل عددی در مقایسه با اندازه‌گیری‌های آزمایشگاهی.

$\theta^\circ$	Exp.	$k-\epsilon$	SGS	ERROR $k-\epsilon(\%)$	ERROR SGS(%)
0	0.95	1	-0.24	5.3	-27.27
30	0.37	0.57	-0.29	35.6	-12.72
60	-0.55	-0.48	-0.45	14.5	36.36
90	-0.56	-0.64	-0.8	13.4	42.85
120	-0.33	-0.38	-0.72	13.3	30.90
150	-0.33	-0.32	0.58	2.4	56.75
180	-0.33	-0.3	1.01	10	5.57
		Mean Error		13.5%	18.9%

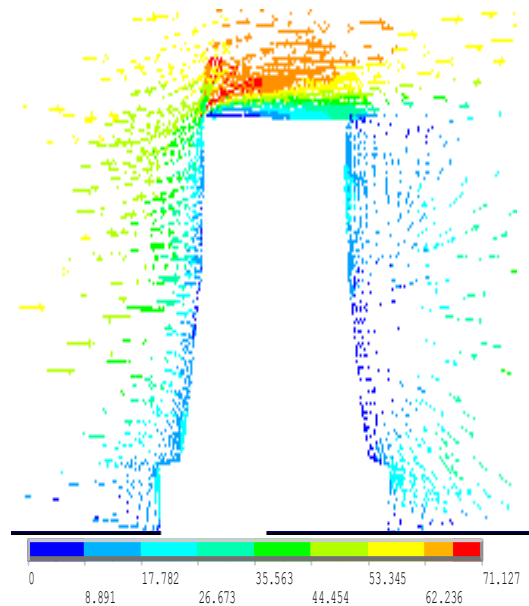


شکل ۳: نمودار توزیع محیطی ضربی فشار در محل گلوگاه برج آزمایشگاهی برای مدل‌های مختلف آشفتگی.

کاربرد مدل‌سازی عددی برج خنک کن واقعی

آخر بخش‌های قابل بررسی عملکرد مدل عددی در

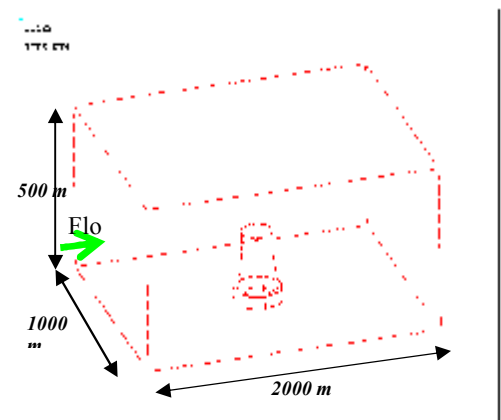
برج ( محل تعبیه دریچه های لوله ) که تا ارتفاع ۲۴ متری از پایین برج ادامه دارد، در مدل عددی به صورت کامل در نظر گرفته شده است و بدین ترتیب شکل برج از حالت استاندارد مورد نظر آیین نامه های مورد استفاده برای محاسبه فشار باد خارج شده است.



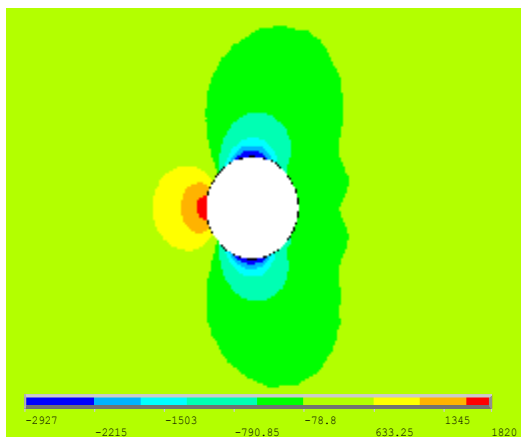
شکل ۷: بردارهای سرعت در مقطع قائم برج نیروگاه کازرون در جهت جریان باد (m/s).



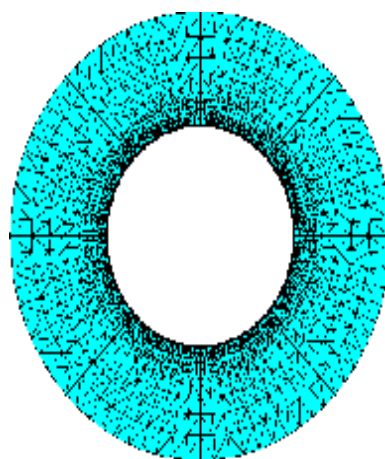
شکل ۴: سازه دریچه متصل به یک برج خنک کن.



شکل ۵: نمای کلی حوزه حل در اطراف یک برج خنک کن در مقیاس واقعی.



شکل ۸: نقشه توزیع فشار اطراف جداره خارجی برج نیروگاه کازرون در تراز گلوبال.



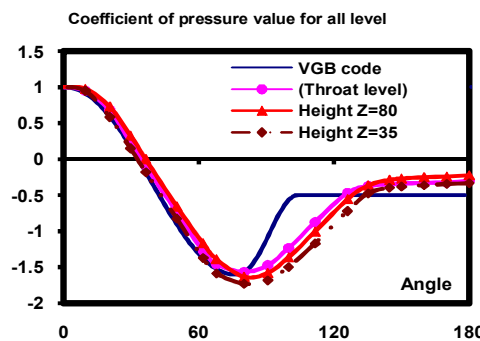
شکل ۶: نحوه توزیع المان ها در کنار جداره برج.

### توزیع فشار و سرعت در اطراف برج

برای ارزیابی مقادیر فشار و سرعت در اطراف برج خنک کن، ابتدا یک برج به صورت بدون پشت بند (با سطح صیقلی) و با فرض مقدار صفر برای سرعت و زبری در روی جداره خارجی برج، در نظر گرفته شد. شرایط مرزی روی

چیدمان المان ها در نزدیک دیواره برج تا هفت لایه طور منظم و با افزایش تدریجی در اندازه ابعاد المان انجام شده است (شکل ۶). شکل هندسی سازه فولادی پایه

نسبت به پیش‌بینی آیین‌نامه در زوایای بیشتری نسبت به نقطه سکون به وقوع می‌پیوند. دلایل این تغییر، ناشی از در نظر گرفتن هندسه سه‌بعدی و هیپربولیک برج است. اختلاف‌های جزئی مشاهده شده در ارتفاعات مختلف نیز به دلیل کاهش قطر برج در محل گلوگاه و افزایش قطر برج در ارتفاعات کمتر و با نزدیک شدن به محل پایه‌های اضافه شده به هندسه برج است.



شکل ۹: مقایسه مقادیر حاصل برای ضریب فشار در ارتفاعات مختلف و آیین نامه VGB.

### تغییرات فشار برای برج تک نیروگاه کازرون در شرایط واقعی

در بخش‌های قبل به بررسی عملکرد مدل عددی در مقایسه با مدل آزمایشگاهی پرداخته شد و پس از انتخاب مدل آشفتگی بهینه، به بررسی تغییرات فشار در ارتفاعات مختلف برج با سطح صیقلی (بدون پشت بند) پرداخته شد. در این بخش به بررسی اثر وجود سازه‌های پایه در شرایط واقعی نیروگاه کازرون پرداخته می‌شود.

از آنجا که سطوح خارجی برج خنک کن نیروگاه کازرون پشت‌بند دارد، لازم است ابتدا اثر ابعاد پشت‌بندها روی میدان فشار اطراف برج، بررسی شود. وجود پشت‌بندها می‌تواند فشار منفی تولید شده در دو طرف برج را تا میزان ۶۰ درصد نیز کاهش دهد. برای در نظر گرفتن اثر پشت‌بندها می‌توان از ایده معادل‌سازی اثر ابعاد و فاصله پشت‌بندها با زبری معادل اعمال شده بر جدار خارجی برج در مدل عددی استفاده کرد. جزئیات این ایده توسط نویسنده‌گان مقاله حاضر در مرجع [۸] تشریح شده است.

زمین به صورت مرز بدون لغزش در نظر گرفته شده و پروفیل واقعی سرعت بر مرز ورودی اعمال شده است. برای همگرایی به وضعیت دائمی، تعداد ۲۵۰۰ تکرار برای حل اجزای محدود به اجرا در آمد و محاسبات تا رسیدن به شاخص همگرایی فشار به مقدار  $10^{-4}$  ادامه یافت.

بردارهای سرعت و مقادیر فشار حاصل از آنالیز احرزی محدود در اطراف برج خنک کن در اشکال (۷) و (۸) ارائه شده است. بیشترین مقدار سرعت در ارتفاع نزدیک به ۸۰ متری از سطح زمین و در مجاوره جدارهای کناری برج رخ می‌دهد. این مقدار برابر با ۹۲ متر بر ثانیه است که  $1/7$  برابر نسبت به ناحیه دور دست جریان در همان ارتفاع افزایش یافته است. با دقت در بردارهای سرعت در اطراف برج (شکل ۷) مشاهده می‌شود که وجود پایه‌های برج که تا ارتفاع ۲۴ متری ادامه دارد، باعث جدایی جریان در محل پایه‌های برج شده و در کاهش میزان سرعت در این نواحی مؤثر است.

حال به بررسی تغییرات ضریب فشار حاصل از مدل عددی و مقایسه آن با مقادیر پیشنهادی آیین‌نامه VGB آلمان [۱۰]، در ترازهای ارتفاعی مختلف برج پرداخته می‌شود. برای این هدف ابتدا همانند قسمت قبل، برج به صورت بدون پشت‌بند (مقدار سرعت و زبری روی جداره برج برابر با صفر) در نظر گرفته شده و نتایج حاصل برای ضریب فشار در ارتفاعات مختلف ارائه شده است (شکل ۹). همان گونه که در این شکل مشاهده می‌شود، آیین‌نامه برای همه ارتفاعات مقدار و تغییرات ضریب فشار را یکسان فرض می‌کند. در نتایج عددی نیز به طور تقریبی همین روند مشاهده می‌شود. به این معنی که اگر چه ضریب فشار منفی ایجاد شده در کناره برج برای ارتفاعات مختلف تا حدود ۱۰ درصد با یکدیگر اختلاف دارد، اما می‌توان گفت که مقدار بیشینه فشار مثبت ایجاد شده در نقطه سکون و مقدار بیشینه فشار منفی ایجاد شده در دو طرف برج‌ها تا حدودی در همه ارتفاعات برابر با مقدار پیشنهادی آیین‌نامه است. اما میزان ضریب فشار در محل نیمه پایین دست برج نیز دستخوش تغییرات قابل توجهی شده است و فشار منفی ایجاد شده در این ناحیه به طور تقریبی نصف مقادیر پیش‌بینی شده توسط آیین‌نامه است. همچنین محل و قوع بیشینه فشار منفی (نقطه جدایش لایه امرزی از بدنه برج) که در دو طرف برج قرار دارد،

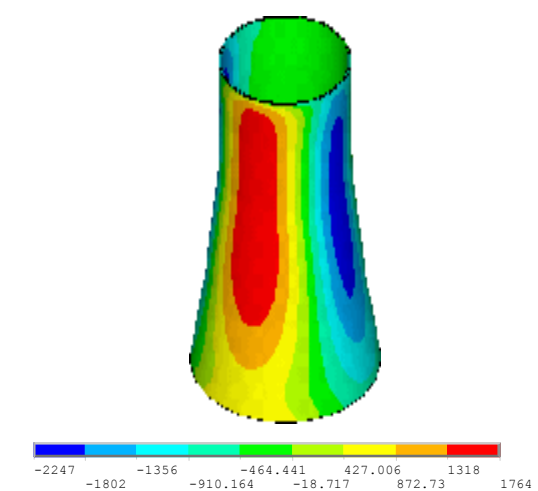
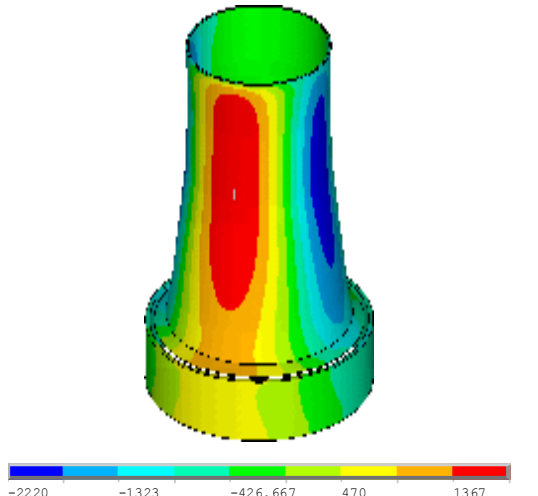
برای ابعاد خاص برج‌های کازرون پرداخته می‌شود. برای محاسبه فشار وارد بر سطوح خارجی برج از روش آینین نامه، باید مقادیر  $C_p$  در محیط پیرامونی برج و مقدار  $q(z)$  در ارتفاع برج مشخص شود. مقدار  $C_p$  با توجه به ابعاد پشت‌بندها از روابطی مشابه با رابطه (۳) و برای نسبت ارتفاع به فاصله پشت‌بندهای برج کازرون به دست می‌آید. این روابط به شرح زیر است:

$$\begin{aligned} C_p(\theta) &= 1 - 2 \left( \sin \frac{90}{70} \theta \right)^{2.267}, \\ &(0 \leq \theta \leq 70) \\ C_p(\theta) &= -1 + 0.5 \left( \sin \left( \frac{90}{21} (\theta - 70) \right) \right)^{2.395}, \\ &(70 \leq \theta \leq 91) \\ C_p(\theta) &= -0.5, \quad (91 \leq \theta \leq 180) \end{aligned} \quad (22)$$

تابع  $q(z)$  برای برج‌های کازرون به این ترتیب در نظر گرفته می‌شود:

$$q(z) = 1.06 \left( \frac{z}{10} \right)^{0.22} \quad (23)$$

$z$  ارتفاع از پای برج است. حال با استفاده از رابطه (۱) می‌توان مقادیر فشار بر سطوح خارجی برج را برای ترازهای مختلف و در زوایای دلخواه به دست آورد. مقادیر فشار در محیط پیرامونی برج و برای ارتفاعات پایین و بالای برج و روی پایه (ارتفاعات ۲۰ و ۳۵ و ۱۰۵ متر) در شکل (۱۱) رسم شده‌اند. در این نمودارها مقادیر حاصل از تحلیل عددی برای دو حالت با پایه و بدون پایه ارائه شده است. همان‌گونه که در شکل (۱۱) مشاهده می‌شود، مقادیر حاصل از حل عددی برای هر دو حالت در ارتفاعات بالای برج، بر هم منطبق است و به نظر می‌رسد وجود سازه‌های پایه تأثیر چندانی در توزیع فشار در نواحی بالای برج ندارد. اما در ترازهای پایین‌تر برج به دلیل نزدیک‌تر شدن به سازه‌های پایه، تفاوت اندکی در ضربیت فشار حاصل می‌شود. این تفاوت روی پایه‌ها (ارتفاع ۲۴ متر) به طور ناگهانی برای سازه با پایه کاهش می‌یابد. این موضوع به دلیل تغییر هندسه برج به شکل استوانه‌ای روی پایه و همچنین تغییرات شعاعی برج است. بنابراین به نظر می‌رسد شکل استوانه‌ای پایه‌ها، باعث کاهش فشار منفی در اطراف برج می‌شود.



شکل ۱۰: نقشه توزیع فشار بر جداره خارجی برج نیروگاه کازرون برای دو حالت با و بدون سازه‌های پایه (سطح خارجی برج خنک‌کن پشت بند دارد).

از آن جا که نسبت ارتفاع به فاصله پشت‌بندهای به کار رفته در بدنه برج‌های نیروگاه کازرون برابر با  $0.0254$  است، زبری معادل ماسه آن برابر با  $0.0247$  در نرم‌افزار اعمال شده و سایر شرایط همانند حالت قبل است. تحلیل عددی برج در این شرایط، برای هر دو حالت برج، با سازه‌های پایه و بدون سازه‌های پایه انجام می‌گیرد. سازه‌های پایه برای نگهداری لوورها در ناحیه پایینی برج اضافه می‌شود. در شکل (۱۰) نقشه توزیع فشار برای برج خنک‌کن پشت‌بنددار، در دو حالت با سازه پایه و بدون سازه پایه نشان داده شده است.

پس از انجام آنالیز عددی برای دو حالت با پایه و بدون VGB پایه به استخراج مقادیر فشار پیشنهادی آینین نامه [www.SID.ir](http://www.SID.ir)

از خود تأخیر نشان می‌دهد.

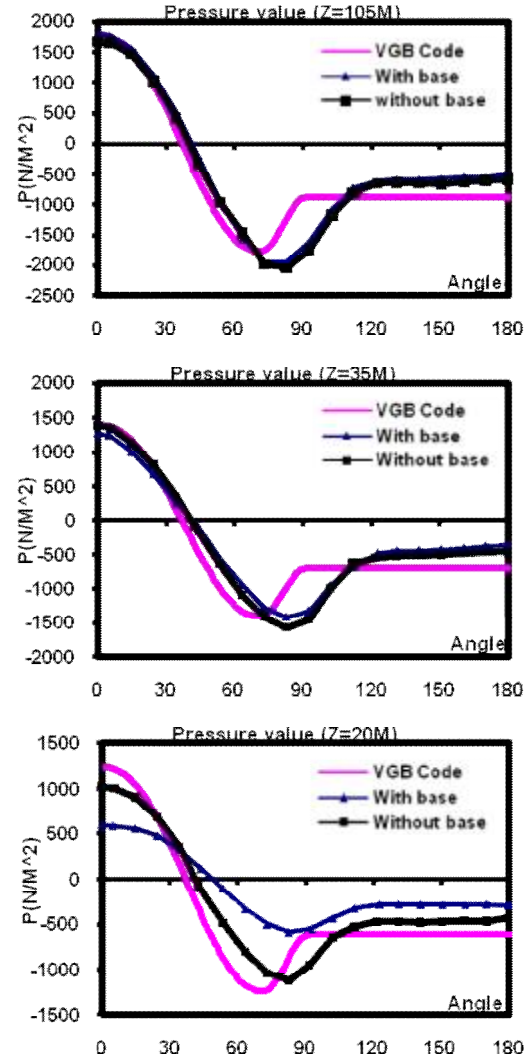
در نمودارهای شکل (۱۱) که مقادیر فشار حاصل از آیین‌نامه و حل عددی در محیط پیرامونی برج مقایسه شده‌اند، این جا به جایی بهتر نمایان می‌شود. علاوه بر منطبق نبودن نقاط بیشینه، مقدار فشار منفی ایجاد شده در پشت برج خنک‌کن تک نیز برای مقادیر حل عددی در حدود  $0/7$  برابر مقادیر آیین‌نامه VGB است. در رابطه با مقدار بیشینه فشار منفی در محل کناره‌های برج، مقادیر حاصل از حل عددی، اندکی بیشتر از مقادیر آیین‌نامه است. به نظر می‌رسد دلیل اصلی این اختلاف، برخورد یکسان آیین‌نامه در دامنه وسیعی از ابعاد پشت‌بندها (از  $h/a=0.1$  تا  $h/a=0.025$ ) باشد. به عبارت دیگر آیین‌نامه مقادیر یکسانی را از نظر تغییرات مقدار فشار در راستای شعاعی برج ارائه می‌دهد. در حالی که مدل عددی برای هر یک از مقادیر زبری جداره در این محدوده، مقادیر فشار متفاوتی ارائه می‌دهد. بنابراین مقداری از تغییرات بیشینه فشار منفی نشان داده شده در نمودارهای ذکر شده به دلیل مقدار متفاوت ابعاد پشت‌بندها برج خنک‌کن نیروگاه کازرون است.

### نتیجه‌گیری

در این مقاله از ابزار دینامیک سیالات محاسباتی در قالب استفاده از روش اجزای محدود برای محاسبه میدانی فشار و سرعت در اطراف برج‌های خنک‌کن به کار گرفته شد و تأثیر مدل‌های متنوع آشفتگی (که کاربرد آنها متداول است) و شکل هندسی برج (با وجود سازه‌های پایه بر عوامل ذکر شده بررسی شد. در نهایت نتایج حاصل از حل عددی برای برآورد دقت روابط موجود در آیین‌نامه VGB آلمان برای برج‌های با مقیاس واقعی مورد استفاده قرار گرفت. نتایج حاصل به این شرح است:

۱- تفاوت ناچیز نتایج عددی با اندازه‌گیری‌های آزمایشگاهی، بیانگر امکان استفاده از مدل‌سازی عددی (با اعمال شرایط مرزی جداره و جریان دوردست صحیح) در بررسی و محاسبه فشار باد رفتار سازه‌های حساس در مقابل باد همچون برج خنک‌کن است.

۲- با توجه به مقادیر آزمایشگاهی گزارش شده، از بین مدل‌های آشفتگی، مدل دو معادله‌ای استاندارد  $k-e$  در حالت سه‌بعدی جواب‌های قابل قبولی را ارائه می‌دهد. بعد از این مدل، مدل صفر معادله‌ای که با محاسباتی آن به



شکل ۱۱: مقایسه مقادیر بیشنهادی آیین‌نامه و مدل عددی برای فشار در پیرامون برج نیروگاه کازرون در چند تراز مختلف ارتفاعی.

در مقایسه نتایج عددی با مقادیر بیشنهادی آیین‌نامه، باید اشاره کرد که برای هر دو حالت با سازه‌های پایه و بدون سازه‌های پایه، در نقطه سکون (در وجه رو به باد) مقادیر حاصل از حل عددی انطباق به نسبت خوبی با مقادیر آیین‌نامه دارد. با حرکت به سمت کناره‌های برج، نقطه بیشینه فشار منفی حاصل از حل عددی در زاویه نزدیک  $85$  تا  $90$  درجه رخ می‌دهد. در حالی که آیین‌نامه زاویه بیشینه فشار منفی را  $70$  درجه ارائه می‌کند. بنابراین به نظر می‌رسد اگر چه مقادیر بیشینه فشار منفی حاصل از حل عددی و آیین‌نامه تا حدودی برابر است، اما محل اثر آنها حدود  $15$  درجه برای حل عددی نسبت به آیین‌نامه [www.SID.ir](http://www.SID.ir)

به مقادیر آیین نامه ذکر شده رخ می دهد. همچنین فشار منفی ثابت در نیمه پشتی برج به طور تقریبی  $7/0$  برابر مقادیر آیین نامه VGB است.

۵- با استفاده از مدل سازی عددی می توان تغییرات ضریب فشار در ارتفاعات مختلف برج های خنک کن را به خوبی محاسبه کرد، در حالی که آیین نامه VGB مقادیر ثابتی را برای ضریب فشار در همه ارتفاعات توصیه می کند. بنابراین در مواردی که هندسه برج خنک کن نسبت به شکل استاندارد مورد نظر آیین نامه متفاوت باشد، استفاده از مدل عددی برای تحلیل فشار ناشی از باد، ضروری به نظر می رسد. این تفاوت ها ممکن است به دلیل وجود سازه های پایه و تغییر در انحنای قائم برج رخ دهد.

۶- در برج های خنک کن که دارای سازه های پایه برای نگهداری پره ها (لوورها) در محل ورودی هوا باشند، حتی در حالت بسته بودن این دریچه ها، افت قابل توجه فشار در تراز های پایینی برج و بخصوص در محل استقرار این سازه ها مشاهده می شود.

مراتب از سایر مدل های آشفتگی کمتر است نیز (بخصوص در نیمه پایین دست باد برج و همچنین نقطه های جدایش لایه مرزی) جواب های قابل قبولی ارائه می دهد.

۳- بیشترین تأثیر افزایش زبری جداره (در قالب اثر معادل نسبت اندازه به فاصله پشت بند ها  $h/a$ ) در کاهش مقدار فشار منفی ایجاد شده در کنار جداره و نزدیک تر شدن محل وقوع آن نسبت به نقطه راستای وزش باد است. نتایج عددی که بیانگر افزایش فشار منفی کناری برج خنک کن نیروگاه کازرون، نسبت به مقادیر پیشنهادی آیین نامه VGB است، بر ضعف فرض این آیین نامه مبنی بر ثابت بودن آن در محدوده ای به نسبت وسیع ( $\leq h/a / 0.10$ ) تأکید دارد.

۴- در حالت در نظر گرفتن زبری معادل پشت بند ها برای برج تک، اگر چه مقادیر بیشینه و کمینه حاصل از حل عددی با نتایج حاصل از آیین نامه VGB همخوانی دارد، اما محل اثر فشار منفی کناری و نقطه جدایی لایه مرزی با جا به جایی ۱۰ تا ۲۰ درجه (به سمت پایین دست) نسبت

## مراجع

- 1 - Niemann, H. J. and Ruhwedel, J. (1980). "Full-scale and model tests on wind induced, static and dynamic stresses in cooling tower shells." *Eng Struct.*, Vol. 2, PP. 81–89.
- 2 - Niemann, H. J. and Koëpper H. D. (1998). "Influence of adjacent buildings on wind effects on cooling towers". *Eng Struct.*, Vol. 20, No.10, PP. 874–880.
- 3 - Niemann, H. J. (1980). "Wind effects on cooling-tower shells." *J. of Struct Eng.*, Vol.106, No. 3, PP. 643–661.
- 4 - Borri, C., Orlando, M. and Spinelli P. (1999). "Wind induced stresses on two neighboring cooling towers." In: *Proceedings of 10th ICWE*, Copenhagen, Denmark, Rotterdam: A.A. Balkema. Vol. 1, PP. 401–408.
- 5 - Prabhakar, Z. (1991)."Wind effects on hyperbolic cooling towers." *Wind Loads on Struct.* PP. 205-214.
- 6 - Zhai, Z. and Fu, S. (2002), "Modeling the airflow around cooling towers with multi-block CFD." *4th International ASME/JSME/KSME Symposium*, Canada.
- 7 - Sabbagh-Yazdi, S. R., Torbati, M., Azad, F. M. and Haghghi, B. (2007). "Computer simulation of changes in the wind pressure due to cooling towers-buildings interference." *WSEAS Transactions on Mathematics*. Vol. 6, No. 1, PP. 205-214.
- 8 - Goudarzi, M. A. and Sabbagh-Yazdi, S. R. (2008). "Modeling wind ribs effects for numerical simulation external pressure load on a cooling tower of KAZERUN power plant-IRAN." *J. Wind and Struct*, Vol. 11, No. 6, PP. 479-496.
- 9 - Goudarzi, M. A. and Sabbagh-Yazdi, S. R. (2009). "Numerical investigation of interference effects on wind flow around a group of cooling towers including wind ribs effects." *International Journal of Science and Technology*, Vol.71, (Accepted for Publication).
- 10 - VGB Guideline. (2005). *Structural Design of Cooling Towers*, Essen, Germany.

- 
- 11 - Hirsch C. (1997). *Numerical computation of internal and external flows*. Wiley, New York.
- 12 - Moaveny, S. (1999). *Finite Element Analysis: Theory and Application with Ansys*, Prentice Hall, Englewood Cliffs, New York.
- 13 - Sabbagh-Yazdi, S. R. (2003). "Using artificial dissipation on unstructured meshes for numerical solution of inviscid incompressible flow." *4th Conference of Iranian Aerospace Society*, Tehran-Iran, PP. 538-548.
- 14 - Launder, B. E. and Spalding, D. B. (1974). "The numerical computation of turbulent flows." *Computer Methods in Appl Mech and Eng*. Vol. 3, PP. 269-289.
- 15 - Shih, T. H., Zhu, J. and Lumley, J. L. (1994). "A new reynolds stress algebraic equation model." *August Report No.TM-106644, NASA*.
- 16 - Girimaji, S. S. (1995). "Fully-Explicit and self-consistent algebraic reynolds stress model." *ICASE 95-82*.
- 17 - Wilcox, M. and David, C. (1988). "Reassessment of the scale-determining equation for advanced turbulence models." *AIAA Journal*, Vol. 26, PP. 1299–1310.
- 18 - Menter, F. R. (1994). "Two-equation eddy-viscosity turbulence models for engineering applications." *AIAA Journal*. Vol. 32, PP. 1598–1605.
- 19 - Orlando, M. (2001). "Wind-induced interference effects on two adjacent cooling towers." *J. Eng. Struct.*, Vol. 23, No. 8, PP. 979-992.
- 20 - Niemann, H. J. (1980). "Wind effects on cooling-tower shells." *J. of Struct Eng, ASCE*, Vol. 106, No. 3, PP. 643–61.

### واژه‌های انگلیسی به ترتیب استفاده در متن

- 1 - Wind Ribs
- 2 - Computational Fluid Dynamics (CFD)
- 3 - Re-Normalized Group Model
- 4 - Shi-Zhu-Lemley
- 5 - Girimaji